

4. ผลการทดลองและวิจารย์ผล

4.1 จัดเตรียม/จัดทำวัตถุคินและทดสอบสมบัติของวัตถุคิน

ทำการจัดทำวัตถุคิน ได้แก่ แอลจิเนต ไอโคไซด์ และกลูโคซามีน ตลอดจนวิเคราะห์สมบัติของสารแต่ละตัว ดังแสดงในตารางที่ 1 และ 2 ตามลำดับ

ตารางที่ 1 สมบัติของแอลจิเนตและไอโคไซด์ที่ใช้ในการศึกษานี้

พารามิเตอร์	แอลจิเนต*	ไอโคไซด์ 1	ไอโคไซด์ 2	ไอโคไซด์ 3	ไอโคไซด์ 4	ไอโคไซด์ 5
แหล่งที่มา	สารร้ายส์ น้ำตาล	เปลือกถุง	เปลือกถุง	เปลือกถุง	เปลือกถุง	เปลือกถุง
ความชื้น (%)	9.12 ± 0.07	10.52 ± 0.07	10.65 ± 0.28	8.96 ± 0.24	9.72 ± 0.41	10.84 ± 1.51
น้ำหนักโมเลกุล (กิโลโมลตัน)	80-120	70	179	220	300	583
Degree of Deacetylation (DD) (%)	-	84	89	87	92	82
guluronic acid content	0.39	-	-	-	-	-

* ข้อมูลจากผู้ผลิต (Sigma Chemicals, St Louis, MO, USA)

ตารางที่ 2 สมบัติของกลูโคซามีน*

พารามิเตอร์	กลูโคซามีน
สูตรโครงสร้าง	$C_6H_{13}NO_5$
ลักษณะภายนอก	ของแข็งสีขาว
Refractive index (n20D)	1.330
น้ำหนักโมเลกุล (กรัม/โมล)	179.17

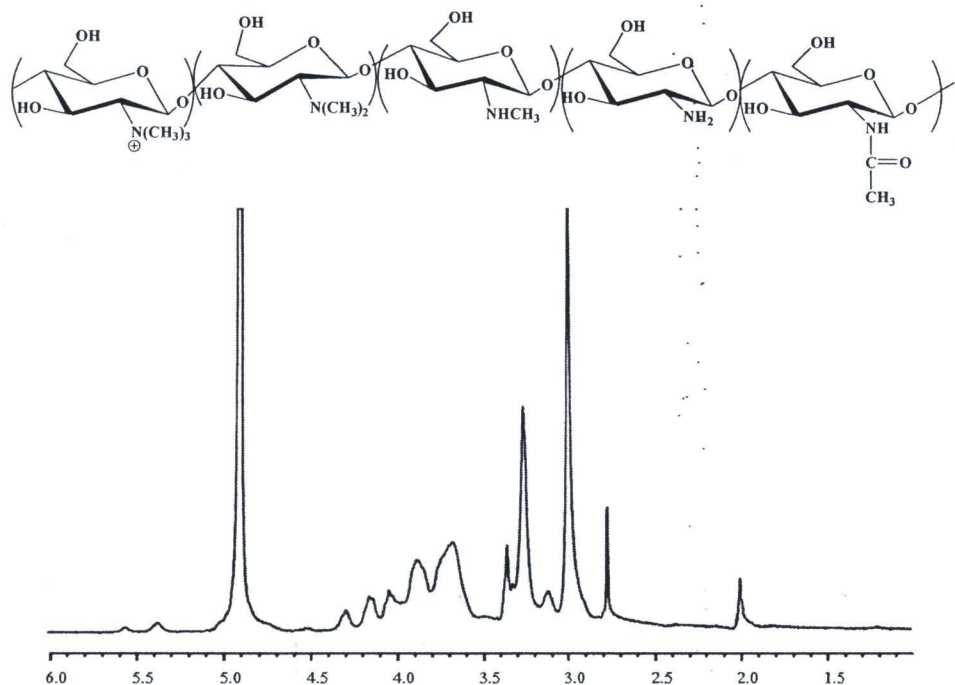
* ข้อมูลจากผู้ผลิต (Sigma Chemicals, St Louis, MO, USA)

4.2 สังเคราะห์อนุพันธ์ที่มีประจุบวกต่อของไคโตซาน

ในงานนี้ได้สังเคราะห์อนุพันธ์ที่มีประจุบวกต่อของไคโตซาน 2 ชนิด คือ *N,N,N*-trimethylammonium chitosan chloride (TMC) และ *N*-[(2-hydroxyl-3-trimethylammonium)propyl]chitosan chloride (HTCC) โดยใช้ไคโตซานที่มีน้ำหนักโมเลกุล 220 กิโลคาลตัน และ DD เท่ากับ 87% มาใช้ในการสังเคราะห์

- *N,N,N*-trimethylammonium chitosan chloride (TMC)

TMC สังเคราะห์ได้จากการนำไคโตซานมาทำปฏิกิริยาเมทิล iodide (methyl iodide) ตามวิธีการ Sieval และคณะ [10] และวิเคราะห์โครงสร้างด้วยวิธี proton NMR (ภาคที่ 2) โดยตำแหน่งของพีกและโครงสร้างแสดงไว้ในตารางที่ 3



ภาพที่ 2 ภาพแสดงโครงสร้างและ proton NMR ของ TMC (ในสารละลาย

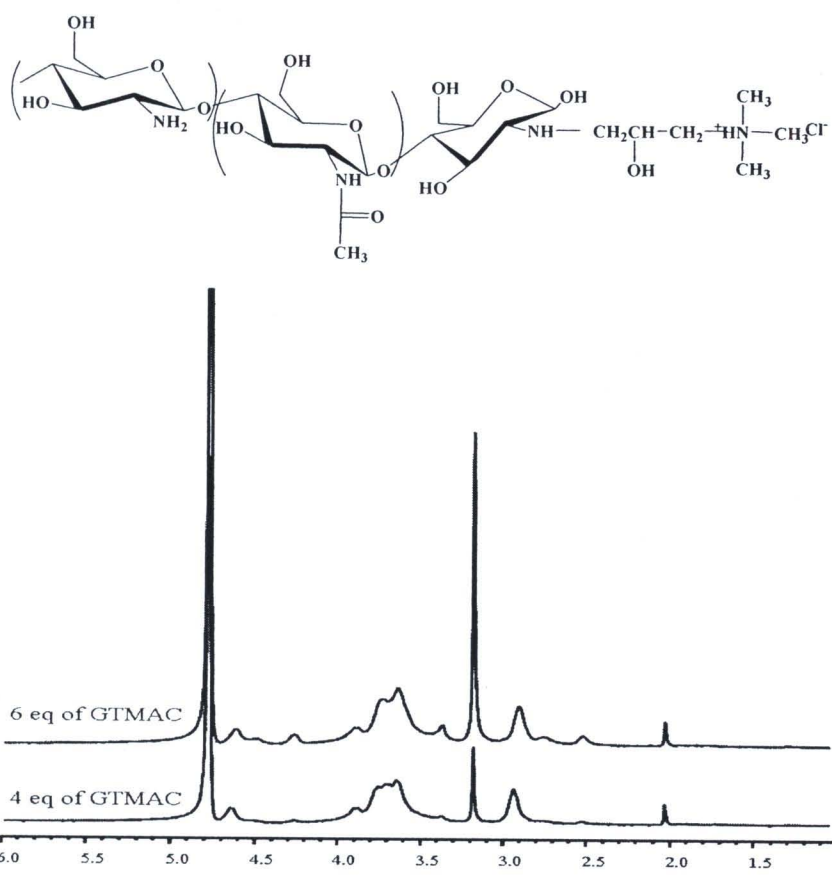
D_2O /trifluoro acetic acid) ที่สังเคราะห์โดยการทำปฏิกิริยาของไคโตซาน กับ CH_3I

ตารางที่ 3 ค่า chemical shift (δ) ของสัญญาณที่พบรากการวิเคราะห์สาร TMC ด้วย proton เอ็นเอ็มอาร์

Chemical shift (δ) (ppm)	สัญญาณ H ของหมู่
2.00	-CO <u>CH</u> ₃
2.80	-NH <u>CH</u> ₃
3.0	-N(<u>CH</u> ₃) ₂
3.15	H-2
3.28	-N ⁺ (<u>CH</u> ₃) ₃
3.30	6-O <u>CH</u> ₃
3.35	3-O <u>CH</u> ₃
3.50-4.40	H-2',3,4,5,6,6'
4.55, 5.3-5.7	H-1
4.90	DO <u>H</u>

- *N*-(2-hydroxyl-3-trimethylammonium)propyl]chitosan chloride (HTCC)

HTCC สังเคราะห์ได้จากการนำไคโตซานมาทำปฏิกิริยาการเปิดวงของสารไกลซิดิลไตรเมทิลแอกโนโน-เนียมคลอไรด์ (GTMAC) ภายใต้สภาวะกรดตามวิธีการ Seong และคณะ [11] และวิเคราะห์โครงสร้างด้วยวิธี proton เอ็นเอ็มอาร์ (ภาพที่ 3) โดยตำแหน่งของพีกและโครงสร้างแสดงไว้ในตารางที่ 4



ภาพที่ 3 ภาพแสดงโครงสร้างและโปรตอนอีนเอ็มอาร์ของ HTCCs (ในสารละลายน้ำ D₂O) ที่สังเคราะห์โดยการทำปฏิกิริยาของไกโตซาน กับ GTMAC ปริมาณ 4 และ 6 มิลลิลิตร

ตารางที่ 4 ค่า chemical shift (δ) (ppm) ของสัญญาณที่พบรากурсวิเคราะห์สาร HTCC ด้วย โปรตอนอีนเอ็มอาร์

Chemical shift (δ) (ppm)	สัญญาณ H ของหมู่
2.00	-COCH ₃
2.50	-CH ₂ CH(OH)CH ₂ N ⁺ (CH ₃) ₃
2.90	H-2
3.20	-N ⁺ (CH ₃) ₃
3.40	-CH ₂ N ⁺ (CH ₃) ₃
3.50-4.40	H-2',3,4,5,6,6'
4.15	-CH(OH)CH ₂ N ⁺ (CH ₃) ₃
4.80	DOH

สามารถนำข้อมูลของการวิเคราะห์ด้วยโปรดอนอีนเอ็มอาร์มาใช้ในการหาปริมาณของหมู่แอมโมเนียม ไอออนซึ่งมีประจุเป็นบวกบนสายโซ่ (degree of quaternization) ได้โดยสามารถคำนวณได้จากเปอร์เซ็นต์การแทนที่ของหมู่เมทธิลบนสายโซ่ จากข้อมูลที่ได้จากการวิเคราะห์พื้นที่ได้พิกของสัญญาณโปรดอนของหมู่เมทธิล 3 หมู่ เทียบกับจำนวนโปรดอนในหน่วยชั่วงคۇโคไพรามิสทั้งหมด ดังแสดงในสมการต่อไปนี้

$$\text{Degree of quaternization } (\%DQ) = \left[\frac{\int N^+(CH_3)_3 / 9}{\left(\int H - 2, 3, 4, 5, 6, 6 / 6 \right) \times DD} \right] \times 100$$

โดยที่ $\int N^+(CH_3)_3$ คือ พื้นที่ได้พิกของโปรดอน 9 อะตอมของหมู่เมทธิล 3 หมู่ที่ต่ออยู่กับในไตรเจน ($\delta = 3.00 \text{ ppm}$)
 $\int H - 2, 3, 4, 5, 6, 6$ คือ พื้นที่ได้พิกของโปรดอน 6 อะตอมในวงคۇโคไพรามิสที่ตำแหน่ง $\delta 3.50-4.40 \text{ ppm}$
และ DD คือ ค่า degree of deacetylation ของไคโ拓านซึ่งเท่ากับ 87% หรือ 0.87

ได้ผลการคำนวณค่า DQ ดังแสดงในตารางที่ 5 นอกจากนี้ได้ศึกษาการละลายนำของอนุพันธ์ไคโ拓านที่สังเคราะห์ได้นี้ในน้ำที่มีค่า pH ต่างๆ กัน พบว่า TMC ที่สังเคราะห์ขึ้นมี DQ เท่ากับ 35% และสามารถละลายนำได้ในสภาวะที่เป็นกรด ($\text{pH} = 1-6.5$) ในขณะที่ HTCC ซึ่งมี DQ เท่ากับ 11% และ 33% สามารถละลายนำได้ทั้งในสภาวะที่เป็นกรด กลาง และด่าง ($\text{pH} = 1-14$)

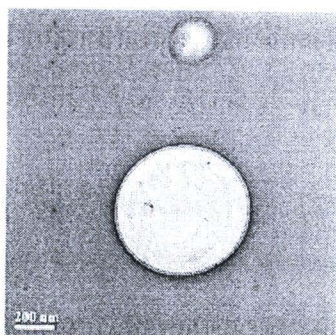
ตารางที่ 5 เปอร์เซ็นต์ของความเหลือในเชื้น (%DQ) และช่วง pH ที่สารละลายได้ในนำของ TMC และ HTCC ที่สังเคราะห์ได้

ชนิดของสารที่สังเคราะห์ได้	Degree of quaternization (%DQ)	ช่วง pH ของนำที่ละลายได้
TMC	35	1-6.5
HTCC1	11	1-14
HTCC2	33	1-14

4.3 การศึกษาปัจจัยที่มีผลต่อการขึ้นรูปเป็นอนุภาคของแคลเซียมแอลจิเนต-ไคโตซาน

-ผลของการโซนิเคชันในขั้นตอนการทำ pre-gel (Ca^{2+} -alginate)

วิธีการขึ้นรูปอนุภาคนาโนดัดแปลงมาจาก De และ Robinson [12] และ Lertsutthiwong และคณะ [13] หลักการ คือ เมื่อหยอดสารละลาย CaCl_2 ลงในสารละลายแอลจิเนตจะเกิด pre gel (สภาวะก่อนการเกิดเจล) และจะเกิดเป็นเจลสมบูรณ์เมื่อหยอดสารละลายไคโตซานลงไป โดยภาพที่ 4 แสดงการเกิดอนุภาคที่มีลักษณะเป็นแบบ core and shell นั่นคือส่วนของ Ca-alginate อยู่ตรงกลางเป็นส่วนที่ไม่ติดสีเนื่องจากสีข้อม phosphotungstic acid มีประจุลบ และที่ข้อมเป็นพอลิเมอร์ประจุบวกคือ ไคโตซันหรืออนุพันธ์ของไคโตซันซึ่งสามารถย้อมติดสีของ phosphotungstic acid ได้ด้วยแรงไออ้อนนิก จึงมีลักษณะทึบแสง



ภาพที่ 4 ภาพถ่ายจากกล้องจุลทรรศน์อิเล็กตรอนแบบส่องผ่านของอนุภาคแคลเซียมแอลจิเนต-ไคโตซาน (ความเข้มข้นของแอลจิเนต = 0.60 mg/ml, ระยะเวลาในการโซนิเคต = 20 min, ความเข้มข้นของไคโตซาน น้ำหนักไม่เลกตุ 220 กิโลโมลตัน = 0.30 mg/ml, ข้อมด้วย 1% phosphotungstic acid)

ตารางที่ 6 แสดงผลของการโซนิเคตที่ระยะเวลาต่างๆ โดยพบว่า เมื่อเพิ่มระยะเวลาในการโซนิเคต จาก 0 ถึง 20 นาที ขนาดของอนุภาคลดลงจาก 750 นาโนเมตร เป็น 475 นาโนเมตร ทั้งนี้เนื่องมาจากการโซนิเคตมีผลทำให้สายโซ่พอลิเมอร์ของอัลจิเนตถูกตัดขาด หรือมีการแตกออกของอนุภาค pre gel ทำให้อนุภาคมีขนาดเล็กลง อย่างไรก็ตามหากเพิ่มระยะเวลาในการโซนิเคชันมากขึ้นถึง 60 นาที พบร่ว่า ขนาดลดลงเพียงเล็กน้อยอย่างไม่มีนัยสำคัญ ทั้งนี้อาจเนื่องมาจากการโซนิเคตสามารถตัดสายโซ่พอลิเมอร์ของอัลจิเนตได้ในความยาวค่าหนึ่งเท่านั้น จึงทำให้ได้ขนาดอนุภาคที่มีขนาดใกล้เคียงกันมากขึ้น ดังนั้น เพื่อเป็นการประหยัดพลังงานและเวลาในการทำเตรียมอนุภาค จึงเลือกเวลาในการโซนิเคตที่ 20 นาที สำหรับใช้ในการศึกษาในลำดับต่อไป

ตารางที่ 6 ขนาดของอนุภาคและค่าสักย์ชีต้าที่ระบุเวลาในการโอนิเกชันต่างๆ

ระยะเวลาในการโอนิเกชัน (นาที)	ขนาดอนุภาค (นาโนเมตร)	ค่าสักย์ชีต้า (มิลลิโวล์)
0	751 ± 37	-32 ± 0.6
10	515 ± 35	-31 ± 1.8
20	475 ± 30	-30 ± 1.6
30	463 ± 11	-29 ± 0.4
60	464 ± 7.0	-29 ± 1.7

ในกรณีของค่าประจุที่ผิวของอนุภาคหรือค่าสักย์ชีต้า พบว่า การโอนิเกตไม่มีผลต่อประจุที่ผิวของอนุภาค ทั้งนี้เนื่องจากอัตราส่วนโดยมวลระหว่างอลจิเนตต่อแคลเซียมคลอไรด์ต่อไฮโตรไซด์เท่ากับ 10:2.33:1 ซึ่งจะเห็นได้ว่าอลจิเนตมีปริมาณมากกว่าไฮโตรไซด์ 10 เท่า ดังนั้นประจุสุทธิของอนุภาค จึงแสดงประจุลบของอลจิเนตที่มีมากกว่า

-ผลของน้ำหนักโมเลกุลเริ่มต้นของไฮโตรไซด์

ในส่วนของการทดลองนี้ทำการศึกษาผลของน้ำหนักโมเลกุลของไฮโตรไซด์ที่มีต่อขนาดของอนุภาค ซึ่งจากการทดลองในตารางที่ 7 พบว่า ขนาดอนุภาคไม่มีความสัมพันธ์โดยตรงกับการเปลี่ยนค่าน้ำหนักโมเลกุลตั้งแต่ 71-583 กิโลคาลตัน ทั้งนี้เนื่องจากอลจิเนตมีปริมาณมากกว่าไฮโตรไซด์ 10 เท่า ดังนั้นการเปลี่ยนค่าน้ำหนักโมเลกุลของไฮโตรไซด์จึงไม่น่าจะมีแนวโน้มต่อการเปลี่ยนแปลงขนาดของอนุภาค

ตารางที่ 7 ขนาดของอนุภาคและค่าสักย์ชีต้าที่น้ำหนักโมเลกุลต่างๆ

น้ำหนักโมเลกุลของไฮโตรไซด์ (กิโลคาลตัน)	ขนาดอนุภาค (นาโนเมตร)	ค่าสักย์ชีต้า (มิลลิโวล์)
71	725 ± 31.2	-28.9 ± 0.7
180	702 ± 24.7	-29.8 ± 1.7
220	533 ± 12.5	-29.3 ± 1.1
300	709 ± 36.2	-28.7 ± 1.3
583	562 ± 7.15	-26.4 ± 4.6

ในกรณีของค่าประจุที่ผิวของอนุภาคหรือค่าสักย์ชีต้า พบว่าไม่เปลี่ยนแปลงเมื่อน้ำหนักโมเลกุลของไฮโตรไซด์เปลี่ยนไป นั่นคือน้ำหนักโมเลกุลของไฮโตรไซด์ไม่มีผลต่อประจุที่ผิวของอนุภาคนั้นเอง

- ผลของความเข้มข้นของสารละลายน้ำมันที่มีประจุบวก

เมื่อเพิ่มความเข้มข้นของสารละลายน้ำมันที่มีประจุบวก HTCC หรือ TMC ทำให้ขนาดอนุภาคใหญ่ขึ้น (ตารางที่ 8) ทั้งนี้เนื่องจากแรงดึงดูดระหว่างประจุบวกของไคโตซาน หรืออนุพันธ์ของไคโตซานกับประจุลบของแอลจินต์ ดังนั้นเมื่อเพิ่มความเข้มข้นของไคโตซานหรืออนุพันธ์ทำให้มีปริมาณของประจุบวกมากเกินที่พิวของอนุภาคมากขึ้น ส่งผลให้ขนาดอนุภาคใหญ่ขึ้น แต่สาเหตุที่ความเข้มข้นของ TMC เท่ากับ 0.60 mg/ml ไม่มีข้อมูลนั้น เนื่องมาจากเกิดการตกตะกอนของขนาดอนุภาคที่มีขนาดใหญ่ส่วนใหญ่ เห็นได้ด้วยตาเปล่า และสาเหตุที่ขนาดอนุภาคที่เตรียมจากแอลจินต์กับ HTCC มีขนาดเล็กกว่าอนุภาคที่เตรียมจากแอลจินต์กับ TMC หรือไคโตซาน อาจเนื่องมาจากผลของค่า pH ดังแสดงในตารางที่ 9 ที่ pH เท่ากับ 3.41 (ไคโตซาน) หรือ 3.48 (TMC) แอลจินต่างหน่วยเท่านั้นที่ให้ประจุลบซึ่งเกิดแรงดึงดูดกับประจุบวก (ionic attraction) ของไคโตซานหรือ TMC ได้น้อยหรือการเกิดอนุภาคเป็นการเกักษัณแบบหลวมๆ แต่ที่ pH เท่ากับ 6.33 เกือบทุกหน่วยของแอลจินต์ให้ประจุลบที่สามารถเกิดแรงดึงดูดกับประจุบวกของ HTCC ดังนั้นจึงเกิดแรงดึงดูดที่มากขึ้นหรือการเกิดอนุภาคเป็นการเกักษัณแน่นขึ้นมากกว่ากรณีของไคโตซานและ TMC มีผลให้ได้ขนาดอนุภาคที่เล็กกว่า และในทำนองเดียวกัน HTCC ที่มี %DQ สูงจะมีปริมาณประจุบวกมากกว่า HTCC ที่มี %DQ ต่ำ ดังนั้นจึงสามารถเกิดแรงกระทำกับประจุลบของ COO^- ที่พิวของอนุภาคได้มากกว่าหรือเกักษัณแน่นกว่า จึงได้ขนาดอนุภาคที่เล็กกว่า ดังนั้น HTCC ที่มี %DQ สูงจะให้ขนาดอนุภาคเล็กกว่า HTCC ที่มี %DQ ต่ำ ในกรณีของค่าศักย์ไฟฟ้าซีต้า พนว่า ค่าความเข้มข้นของโพลิเมอร์ประจุบวกไม่มีผลต่อค่าศักย์ไฟฟ้าซีต้า

ตารางที่ 8 ขนาดและค่าศักย์ซีต้าของอนุภาคที่เตรียมจากโพลิเมอร์ประจุบวกแต่ละชนิดที่ความเข้มข้นต่างๆ

Concentration (mg/ml)	CTS		11%HTCC		33%HTCC		TMC	
	Size (nm)	zeta (mV)	Size (nm)	zeta (mV)	Size (nm)	zeta (mV)	Size (nm)	zeta (mV)
0.15	369±20	-23±1.1	317±14	-27±3.1	302±7.6	-23±2.3	401±15	-21±1.9
0.30	498±18	-23±0.5	496±35	-31±2.0	446±1.4	-29±1.1	628±58	-25±0.9
0.45	687±8.4	-23±1.3	662±35	-27±2.6	511±30	-30±1.6	931±32	-24±1.0
0.60	850±55	-21±1.6	769±35	-26±1.3	582±9.5	-29±0.9	-	-

ตารางที่ 9 ค่า pH ของอนุภาคที่เตรียมจากพอลิเมอร์ประจุบวกที่ต่างกัน

Cationic polymer	pH
Chitosan	3.48
TMC	3.41
HTCC	6.33

4.4 ประสิทธิภาพในการบรรจุภัณฑ์โคชามีนในอนุภาคราบเรียบได้

ศึกษาประสิทธิภาพในการบรรจุกลูโคซามีน โดยการนำอนุภาคที่บรรจุกลูโคซามีนแล้วมาแช่ในสารละลายน้ำซิตรัต (sodium citrate) ข้ามคืน เพื่อให้ออนุภาคแตกออกเนื่องจากซิตรัตจะเข้าไปรบกวนการจับตัวกันระหว่างพอลิเมอร์ ส่งผลให้กลูโคซามีนละลายออกจากmatrixได้หมด จึงหาปริมาณกลูโคซามีนด้วยเทคนิค HPLC ได้อย่างถูกต้องมากขึ้น โดยจะต้องทำปฏิกิริยา กับ PITC ก่อนการวิเคราะห์เพื่อให้ UV detector สามารถตรวจวัดปริมาณสารได้

ในงานวิจัยนี้ได้ศึกษาการบรรจุกลูโคซามีนด้วยวิธีการ 2 วิธี คือ วิธีที่หนึ่ง: ละลายน้ำกลูโคซามีนลงในสารละลายแอลจิเนตก่อนแล้วจึงหยดแคลเซียมคลอไรด์ลงไป ส่วนในวิธีที่สอง: ละลายน้ำกลูโคซามีนลงในสารละลายแคลเซียมคลอไรด์ก่อนแล้วจึงหยดลงในสารละลายแอลจิเนต ผลการทดลองแสดงในตารางที่ 10 พบว่าการบรรจุกลูโคซามีนในอนุภาคแบบที่ 1 มีประสิทธิภาพในการกักเก็บยาได้นากกว่า การบรรจุแบบที่ 2 ทั้งนี้อาจอธิบายได้ว่า เมื่อนำกลูโคซามีนในรูปของกลูโคซามีนไฮโดรคลอไรด์มาละลายอยู่ในสารละลายแคลเซียมคลอไรด์จะเกิดแรงผลักดันระหว่างหมู่แอมโมเนียมของกลูโคซามีนกับ Ca^{2+} ซึ่งเมื่อนำไปหยดลงในสารละลายแอลจิเนตจึงทำให้ประสิทธิภาพการกักเก็บกลูโคซามีนแบบนี้น้อยกว่าแบบที่หนึ่ง ซึ่งประจุบวกของกลูโคซามีนเกิดแรงดึงดูดกับประจุลบบนสายโซ่แอลจิเนตก่อนทำให้กลูโคซามีนถูกกักไว้ก่อนบางส่วน เมื่อหยดสารละลายแคลเซียมคลอไรด์ลงไปเพื่อให้เกิดเป็น pre-gel จนเกิดเป็นอนุภาคที่สมบูรณ์จึงกักเก็บกลูโคซามีนได้ในปริมาณที่มากกว่า

ตารางที่ 10 ปริมาณกลูโคซามีนที่บรรจุอยู่ในอนุภาคด้วยวิธีการบรรจุที่แตกต่างกัน

ตัวอย่าง	วิธีที่ 1:		วิธีที่ 2:	
	กลูโคซามีนผสมในสารละลายน้ำแลจิเนต	กลูโคซามีนผสมในสารละลายน้ำแลจิเนตเชิงมคลอไรด์	กลูโคซามีนผสมในสารละลายน้ำแลจิเนต	กลูโคซามีนผสมในสารละลายน้ำแลจิเนต
	ประสิทธิภาพใน การกักเก็บ กลูโคซามีน (%)	ปริมาณยาต่อ น้ำหนักของ อนุภาค (%)	ประสิทธิภาพ ใน การกักเก็บ กลูโคซามีน (%)	ปริมาณยาต่อ น้ำหนักของ อนุภาค (%)
ACP	0.941±0.14	3.914±0.59	0.714±0.17	3.218±0.76
AH11P	0.802±0.14	5.868±1.00	0.655±0.12	4.924±0.90
AH33P	0.960±0.17	6.540±1.19	0.558±0.10	4.793±0.83
ATP	0.693±0.10	4.089±0.62	0.581±0.15	2.995±0.77

หมายเหตุ: ACP คือ alginate-chitosan nanoparticles containing glucosamine

AH11P คือ alginate-HTCC ($DQ=11\%$) nanoparticles containing glucosamine

AH33P คือ alginate-HTCC ($DQ=33\%$) nanoparticles containing glucosamine

ATP คือ alginate-TMC nanoparticles containing glucosamine

5. สรุปผลการทดลอง

อนุภาค nano แลจิเนต-ไคโตซาน (หรืออนุพันธ์ของไคโตซาน) สามารถใช้บรรจุกลูโคซามีน ด้วยเทคนิคเจลเดชั่น ซึ่งอนุภาคที่เตรียมได้มีขนาดเด็กสุดประมาณ 300 นาโนเมตร และปัจจัยที่มีผลต่อ ขนาดของอนุภาค ได้แก่ ระยะเวลาในการโซนิเคต ความเข้มข้นและชนิดของพอลิเมอร์ประยุกต์ที่ใช้ โดยสภาวะที่เหมาะสมในการเตรียมขึ้นอยู่กับขนาดของอนุภาคที่ต้องการ นอกจากนี้ประสิทธิภาพในการบรรจุขึ้นอยู่กับตำแหน่งที่เติมกลูโคซามีนในกระบวนการเตรียมอนุภาค



สำนักงานคณะกรรมการวิจัยแห่งชาติ
ห้องสมุดงานวิจัย
วันที่.....02.๗.๒๕๕๕
เลขทะเบียน.....249879
เลขเรียกหนังสือ.....